

УДК 534.1 :539.3

**И. В. Янчевский**, канд. техн. наукХарьковский национальный автомобильно-дорожный университет  
(г. Харьков, e-mail: yanchevsky@khadi.kharkov.ua)**УПРАВЛЕНИЕ КОЛЕБАНИЯМИ ИЗГИБА  
КРУГЛОГО АСИММЕТРИЧНОГО БИМОРФНОГО  
ПЬЕЗОПРЕОБРАЗОВАТЕЛЯ С РАЗРЕЗНЫМ ЭЛЕКТРОДОМ**

*С использованием интегрального преобразования Лапласа решена задача об управлении антисимметричными нестационарными колебаниями изгиба круглой двухслойной пластины типа «металл-пъезокерамика». Управление осуществляется электрическим путем, при этом конфигурация электрического сигнала, обеспечивающая заданное поведение нормали к поверхности пластины в ее центре, подлежит идентификации. Математическая модель записана в рамках теории тонких электроупругих оболочек. Разработанным методом задача сведена к системе интегральных уравнений Вольтерра, решение которой выполнено численно с привлечением регуляризирующего алгоритма Тихонова.*

*З використанням інтегрального перетворення Лапласа розв'язана задача про керування антисиметричними нестационарними коливаннями вигину круглої двошарової пластини типу «метал-п'єзокераміка». Керування здійснюється електричним шляхом, при цьому конфігурація електричного сигналу, яка забезпечує задану поведінку нормалі до поверхні пластини в її центрі, підлягає ідентифікації. Математична модель записана в рамках теорії тонких електропружних оболонок. Розробленим методом задача зведена до системи інтегральних рівнянь Вольтерра, розв'язання якої виконано чисельно із залученням регуляризуючого алгоритму Тихонова.*

**Введение**

Актуальность исследований напряженно-деформированного состояния круглых пластин, содержащих слои из пьезоэлектрически активного материала, обусловлена широкой номенклатурой их практических приложений [1, 2]. Особенно эффективно их использование в устройствах прецизионного позиционирования, системах подавления вибраций, функциональной электронике и других смарт-структурах, в которых за счет подводимого извне электрического сигнала осуществляется целенаправленное управление деформированным состоянием элементов. Поэтому изучение динамического поведения преобразователей упомянутого конструктивного исполнения при различных вариантах закрепления, электродирования и электромеханического нагружения имеет очевидную практическую значимость.

К настоящему времени большая часть результатов теоретических исследований, посвященных проблеме управления колебаниями круглых в плане тонких пьезоэлементов, получена в предположении осесимметрии деформирования. Среди недавних публикаций отметим [3–7]. Вместе с тем большое значение имеют также исследования неосесимметричных деформаций дисковых пьезопреобразователей, возбуждаемые, в частности, за счет неоднородного распределения электрического потенциала, подводимого к сегментированным токопроводящим покрытиям электроупругих слоев. Отметим, что такие пластины находят широкое распространение в адаптивной оптике [8–10].

Целью настоящей работы является разработка метода решения задачи об управлении нестационарными колебаниями изгиба круглой пластины, составленной из электроупругого с разрезным электродом и упругого слоев.

**Постановка задачи**

Рассматривается преобразователь, состоящий из склеенных между собой упругой (металлической) с толщиной  $h_m$  и электроупругой (пьезокерамической) с толщиной  $h_p$  круглых пластин радиуса  $R_0$  ( $h_m + h_p < R_0$ ). На поверхностях поляризованного по толщине пьезо-керамического слоя нанесены бесконечно тонкие электроды, при этом внутренний электрод является сплошным, а на внешнем имеется один диаметральный разрез. Считается, что начальные условия нулевые, а граничные условия на контуре пластины соответствуют условиям шарнирного закрепления.

Колебания возбуждаются нестационарными электрическими потенциалами  $\pm V_0(t)$  ( $t$  – время), подводимыми к секциям разрезного токопроводящего покрытия. При этом потенциал на внутреннем электроде равен нулю. Очевидно, что при выбранной геометрии электродирования и схемы распределения электрического потенциала имеют место антисимметричные колебания изгиба.

Постановка задачи заключается в определении конфигурации электрического сигнала  $V_0(t)$ , который обеспечивает изменение угла поворота нормали к изогнутой поверхности пластины в ее центре относительно начального положения, по заданному закону  $f(t)$ .

**Математическая модель**

Упрощенная модель деформирования рассматриваемой асимметричной биморфной пластины строится в рамках обобщенных гипотез Кирхгофа–Лява, позволяющих заменить задачу о колебаниях пластины как трехмерного тела задачей о колебаниях поверхности приведения [5, 8], в плоскости которой разместим координатную поверхность  $z = 0$  цилиндрической системы координат. При этом положение плоскости соединения слоев определяется расстоянием

$$z_0 = \frac{c_1^p h_p^2 - c_1^m h_m^2}{2(c_1^p h_p + c_1^m h_m)}.$$

Здесь  $c_1^j = [s_{11}^j(1 - \nu^2)]^{-1}$  ( $j = m, p$ );  $s_{11}^j$  – упругие податливости материалов;  $\nu$  – коэффициент Пуассона материалов (предполагается, что  $\nu_p \approx \nu_m$ ).

В результате принятых допущений деформированное состояние пластины описывается дифференциальным уравнением

$$\nabla^2 w + \frac{\partial^2 w}{\partial t^2} = \nabla V, \quad (1)$$

где  $w(r, \theta, t)$  – нормальное перемещение точек поверхности приведения;  $V(r, \theta, t) = V_0(t) \cdot \text{sign}(\sin(\theta))$  – функция, описывающая распределение электрического потенциала на сегментированной поверхности;  $\nabla = \frac{\partial^2}{\partial r^2} + \frac{1}{r} \frac{\partial}{\partial r} + \frac{1}{r^2} \frac{\partial^2}{\partial \theta^2}$  – оператор Лапласа;  $r, \theta$  – радиальная и угловая координаты (плоскость  $\theta = 0$  совмещена с разрезом токопроводящего покрытия).

Выражения для механических граничных условий также по форме совпадают с классическими граничными условиями при изгибе упругих пластин и в случае шарнирного закрепления имеют вид [5, 8]

$$w|_{r=R_0} = 0; \quad M_r|_{r=R_0} = \left( -\frac{\partial^2 w}{\partial r^2} - \sqrt{\left( \frac{1}{r} \frac{\partial w}{\partial r} + \frac{1}{r^2} \frac{\partial^2 w}{\partial \theta^2} \right) + V} \right) \Big|_{r=R_0} = 0. \quad (2)$$

Отметим, что уравнения (1), (2) записаны в безразмерном виде. Их обезразмеривание было проведено путем деления  $w, r, h_j$  ( $j = m, p$ ) и  $R_0$  на  $R_0$ ;  $t$  – на  $\sqrt{R_0^2 \rho_h / D}$ ;  $V$  – на

$-\bar{D}R_0/e_1a_p$ ; изгибающий момент  $M_r$  – на  $\bar{D}R_0^2$ . При этом постоянные вычисляются по формулам

$$\bar{D} = D + \Delta D; \quad D = c_1^p \frac{z_0^3 - (z_0 - h_p)^3}{3} + c_1^m \frac{(z_0 + h_m)^3 - z_0^3}{3}; \quad \Delta D = \frac{e_1^2 h_p^3}{\varepsilon_3 3}; \quad a_p = z_0 - \frac{h_p}{2};$$

$$\varepsilon_3 = \varepsilon_{33}^T - 2d_{31}e_1; \quad e_1 = d_{31}c_1^p(1 + \nu); \quad \rho_h = \rho_p h_p + \rho_m h_m; \quad \bar{\nu} = (\nu D + \Delta D) / \bar{D},$$

где  $\rho_j$  – плотности материалов;  $d_{31}$ ,  $\varepsilon_{33}^T$  – пьезомодуль и диэлектрическая проницаемость пьезокерамики при постоянных механических напряжениях.

Уравнение движения (1) и равенства (2) следует дополнить однородными начальными условиями и условием управления, которое ввиду малости деформаций может быть записано следующим образом:

$$\left. \frac{\partial w}{\partial r} \right|_{\substack{r=0 \\ \theta=\pi/2}} = f(t), \quad (3)$$

где  $f(t)$  – заданная функция.

### Решение задачи

К уравнению (1) применим преобразование Лапласа по временной переменной  $t$  с параметром преобразования  $s$ . При нулевых начальных условиях изображение функции прогиба  $w^L$  представим в виде суммы

$$w^L = \bar{w}^L + \tilde{w}^L, \quad (4)$$

в котором первое слагаемое, удовлетворяющее однородному дифференциальному уравнению  $\nabla^2 \bar{w}^L + s^2 \bar{w}^L = 0$ , выражается через цилиндрические функции  $k$ -го порядка

$$\bar{w}^L = \sum_{k=1}^{\infty} [A_k^{(1)}(s)J_k(\sqrt{is}r) + A_k^{(2)}(s)I_k(\sqrt{is}r) + A_k^{(3)}(s)Y_k(\sqrt{is}r) + A_k^{(4)}(s)K_k(\sqrt{is}r)] \sin(k\theta), \quad (5)$$

где  $A_k^{(j)}(s)$  – произвольные функции  $s$  ( $j = 1, 2, 3, 4$ );  $i = \sqrt{-1}$ .

Частное решение  $\tilde{w}^L$  трансформированного уравнения (1) будем искать в виде ряда по формам собственных колебаний

$$\tilde{w}^L(r, \theta, s) = \sum_{k=1}^{\infty} \sum_{n=1}^{\infty} a_{k,n}^L(s) J_k(\lambda_{k,n} r) \sin(k\theta), \quad (6)$$

в котором  $a_{k,n}^L(s)$  – также неизвестные, зависящие от  $s$ , функции;  $\lambda_{k,n}$  – корни уравнения  $J_k(\lambda_{k,n} R_0) = 0$ , выстроенные в порядке возрастания.

Составляющую  $\bar{w}^L$  (5) с учетом ограниченности перемещений в центре пластины ( $r = 0$ ) и произвольности функций  $A_k^{(j)}(s)$  запишем в удобном для последующего построения оригиналов виде

$$\bar{w}^L = \sum_{k=1}^{\infty} \left[ \frac{1}{s} A_k^{(1)}(s) e^{-i\sqrt{is}r} F_k^{(1)}(r, s) + \frac{1}{s} A_k^{(2)}(s) e^{-\sqrt{is}(R_0-r)} F_k^{(2)}(r, s) \right] \sin(k\theta), \quad (7)$$

где  $F_k^{(1)}(r, s) = i^{k/2} \frac{e^{i\sqrt{is}r}}{s^{(k+1)/2}} J_k(\sqrt{is}r)$ ;  $F_k^{(2)}(r, s) = i^{k/2} \frac{e^{-\sqrt{is}r}}{s^{(k+1)/2}} I_k(\sqrt{is}r)$ .

С использованием изложенных в публикации [11] подходов получены следующие равенства для функций  $F_k^{(j)}(r, s)$  ( $j = 1, 2$ ):

$$F_k^{(1)}(r, s) = i^k \cdot (G_k^{(1)L}(r, s) + i \cdot G_k^{(2)L}(r, s)),$$

$$F_k^{(2)}(r, s) = i^k \cdot (G_k^{(1)L}(r, s) - i \cdot G_k^{(2)L}(r, s)), \quad (8)$$

в которых оригиналы  $G_k^{(j)L}(r, s)$  ( $j = 1, 2$ ) являются действительными функциями и могут быть записаны в виде степенных рядов

– при больших  $t$

$$G_k^{(1)}(r, t) = \sum_{m=0}^{\infty} h_m(k) \frac{r^{4m+k}}{t^{2m+0,5}}, \quad (9a)$$

$$G_k^{(2)}(r, t) = \sum_{m=0}^{\infty} \frac{(4m+k+1,5)(4m+k+0,5)}{2m(4m+2k+2)(4m+2k+1)} h_m(k) \frac{r^{4m+k+2}}{t^{2m+1,5}},$$

где  $h_{m+1}(k) = \frac{-h_m(k)(4m+k+3,5)(4m+k+2,5)(4m+k+1,5)(4m+k+0,5)}{2m(2m+1)(4m+2k+4)(4m+2k+3)(4m+2k+2)(4m+2k+1)}$ ;

$h_0(k) = \frac{2^k}{\pi} \cdot \frac{\Gamma(k+0,5)}{\Gamma(2k+1)}$ ;  $\Gamma$  – гамма-функция;

– и при малых  $t$ :

$$G_k^{(1)}(r, t) = \sum_{m=0}^{\infty} h_m(k) \frac{t^{m/2+k/2-0,25}}{r^{m+0,5}} \cos\left(\frac{\pi}{4}\left(m+k+\frac{1}{2}\right)\right), \quad (9b)$$

$$G_k^{(2)}(r, t) = \sum_{m=0}^{\infty} h_m(k) \frac{t^{m/2+k/2-0,25}}{r^{m+0,5}} \sin\left(\frac{\pi}{4}\left(m+k+\frac{1}{2}\right)\right),$$

где  $h_0(k) = \frac{1}{\sqrt{2\pi}} \cdot \frac{1}{\Gamma(k/2+0,75)}$ ;  $h_{m+1}(k) = h_m(k) \cdot \frac{m-k+0,5}{m+1} \cdot \frac{\Gamma(m/2+k/2+0,75)}{\Gamma(m/2+k/2+0,25)}$ .

Принимая во внимание соотношения (8), можно исключить мнимые части в решении (7)

$$\bar{w}^L = \sum_{k=1}^{\infty} \left[ \frac{1}{s} B_k^{(1)}(r, s) G_k^{(1)L}(r, s) + \frac{1}{s} B_k^{(2)}(r, s) G_k^{(2)L}(r, s) \right] \sin(k\theta), \quad (10)$$

за счет введения новых переменных

$$B_k^{(1)}(r, s) = \left( A_k^{(1)}(s) \cdot e^{-i\sqrt{s}r} + A_k^{(2)}(s) \cdot e^{-\sqrt{s}(R_0-r)} \right) \cdot i^k, \quad (11)$$

$$B_k^{(2)}(r, s) = \left( A_k^{(1)}(s) \cdot e^{-i\sqrt{s}r} - A_k^{(2)}(s) \cdot e^{-\sqrt{s}(R_0-r)} \right) \cdot i^{k+1}.$$

Функции  $B_k^{(j)}(r, s)$  ( $j = 1, 2$ ), фигурирующие в (10), с использованием формул Эйлера и Муавра ( $e^{\pm i\varphi} = \cos\varphi \pm i \cdot \sin\varphi$ ;  $z^{1/n} = |z|^{1/n} e^{i \cdot \arg(z)/n}$ ) выразим через граничные значения  $B_k^{(j)L}(R_0, s)$

$$\frac{1}{s} B_k^{(1)}(r, s) = B_k^{(1)L}(R_0, s) \Psi_c^L(r, s) + B_k^{(2)L}(R_0, s) \Psi_s^L(r, s),$$

$$\frac{1}{s} B_k^{(2)}(r, s) = B_k^{(2)L}(R_0, s) \Psi_c^L(r, s) - B_k^{(1)L}(R_0, s) \Psi_s^L(r, s),$$

где  $\Psi_c^L(r, s) = \frac{1}{s} e^{-\alpha\sqrt{s}} \cos(\alpha\sqrt{s})$ ;  $\Psi_s^L(r, s) = \frac{1}{s} e^{-\alpha\sqrt{s}} \sin(\alpha\sqrt{s})$ ;  $\alpha(r) = \frac{\sqrt{2}}{2} (R_0 - r)$ .

В результате последующей перекомпоновки составляющих запись (10) примет вид

$$\bar{w}^L = \sum_{k=1}^{\infty} \left[ B_k^{(1)L}(R_0, s) \Psi_k^{(1)L}(r, s) + B_k^{(2)L}(R_0, s) \Psi_k^{(2)L}(r, s) \right] \sin(k\theta), \quad (12)$$

где  $\Psi_k^{(1)L}(r, s) = G_k^{(1)L}(r, s) \Psi_c^L(r, s) - G_k^{(2)L}(r, s) \Psi_s^L(r, s)$ ;

$\Psi_k^{(2)L}(r, s) = G_k^{(1)L}(r, s) \Psi_s^L(r, s) + G_k^{(2)L}(r, s) \Psi_c^L(r, s)$ .

В то же время функции  $a_{k,n}^L(s)$  решения (6) с использованием свойства ортогональности тригонометрических функций и функции Бесселя несложно выразить через изображение неизвестного электрического напряжения  $V_0(t)$

$$a_{k,n}^L(s) = -\lambda_{k,n}^2 v_{k,n} \frac{V_0^L(s)}{s^2 + \lambda_{k,n}^4}, \quad (13)$$

в котором  $v_{k,n}$  являются коэффициентами разложения электрического потенциала  $V^L$  в ряд, аналогичный (6)

$$V^L(r, \theta, s) = V_0^L(s) \sum_{k=1}^{\infty} \sum_{n=1}^{\infty} v_{k,n} J_k(\lambda_{k,n} r) \sin(k\theta); \quad (14)$$

$$v_{k,n} = \frac{2(1 - \cos(k\pi))}{k\pi} \frac{2\Psi_{k,n}(R_0)}{J_{k+1}^2(\lambda_{k,n} R_0)}; \quad \Psi_{k,n}(x) = \sum_{m=0}^{\infty} h_m(k, n) \cdot x^{2m+k+2};$$

$$h_0(k, n) = \frac{\lambda_{k,n}^k}{2^k \cdot (k+2) \cdot \Gamma(k+1)}; \quad h_{m+1}(k, n) = \frac{-h_m(k, n) \cdot \lambda_{k,n}^2 \cdot (2m+k+2)}{2^2 \cdot (m+1)(m+k+1)(2m+k+4)}.$$

Далее на основании обычных правил операционного исчисления осуществляется инверсия по Лапласу равенств (4), (6), (12) и (13)

$$w(r, \theta, t) = \sum_{k=1}^{\infty} \left[ \sum_{j=1}^2 \int_0^t B_k^{(j)}(R_0, \tau) \Psi_k^{(j)}(r, t-\tau) d\tau + \int_0^t V_0(\tau) \Psi_k^{(3)}(r, t-\tau) d\tau \right] \sin(k\theta). \quad (15)$$

Равенство (15) определяет форму изогнутой поверхности приведения исследуемой биморфной пластины, причем

$$\Psi_k^{(1)}(r, t) = \int_0^t G_k^{(1)}(r, \tau) \Psi_c(r, t-\tau) d\tau - \int_0^t G_k^{(2)}(r, \tau) \Psi_s(r, t-\tau) d\tau;$$

$$\Psi_k^{(2)}(r, t) = \int_0^t G_k^{(1)}(r, \tau) \Psi_s(r, t-\tau) d\tau + \int_0^t G_k^{(2)}(r, \tau) \Psi_c(r, t-\tau) d\tau;$$

$$\Psi_k^{(3)}(r, t) = -\sum_{n=1}^{\infty} v_{k,n} J_k(\lambda_{k,n} r) \sin(\lambda_{k,n}^2 t).$$

Функции  $G_k^{(j)}$  ( $j = 1, 2$ ), входящие в ядра  $\Psi_k^{(j)}(r, t)$  (15), были описаны ранее (9). Оригиналы  $\Psi_c^L$  и  $\Psi_s^L$  являются табличными [12]

$$\Psi_c(r, t) = 1 - C\left(\frac{(R_0 - r)^2}{4t}\right) - S\left(\frac{(R_0 - r)^2}{4t}\right); \quad \Psi_s(r, t) = C\left(\frac{(R_0 - r)^2}{4t}\right) - S\left(\frac{(R_0 - r)^2}{4t}\right);$$

$C$  и  $S$  – интегралы Френеля:  $C(x) = \frac{1}{\sqrt{2\pi}} \int_0^x \frac{\cos(\xi)}{\sqrt{\xi}} d\xi$  и  $S(x) = \frac{1}{\sqrt{2\pi}} \int_0^x \frac{\sin(\xi)}{\sqrt{\xi}} d\xi$ .

Неизвестные коэффициенты  $B_k^{(j)}(R_0, t)$  ( $j = 1, 2$ ) и искомая конфигурация управляющего воздействия  $V_0(t)$  определяются из граничных условий (2) и условия управления (3). В результате подстановки формулы для  $w^L$

$$w^L = \sum_{k=1}^{\infty} \left[ \frac{A_k^{(1)L}}{s} \cdot \frac{i^{k/2}}{s^{(k+1)/2}} J_k(\sqrt{is}r) + \frac{A_k^{(2)L}}{s} \cdot \frac{i^{k/2} e^{-\sqrt{is}R_0}}{s^{(k+1)/2}} I_k(\sqrt{is}r) + \sum_{n=1}^{\infty} a_{k,n}^L J_k(\lambda_{k,n} r) \right] \sin(k\theta),$$

записанной на основании (4), (6) и (7), и формулы для  $V^L$  (14) в преобразованные по Лапласу равенства (2) и (3) получим следующую систему уравнений в пространстве изображений:

$$\begin{aligned}
 & B_k^{(1)L}(R_0, s)G_k^{(1)L}(R_0, s) + B_k^{(2)L}(R_0, s)G_k^{(2)L}(R_0, s) = 0; \\
 & B_k^{(1)L}(R_0, s) \left[ G_k^{(2)L}(R_0, s) + \frac{\bar{v}-1}{R_0} G_{k+1}^{(2)L}(R_0, s) \right] - B_k^{(2)L}(R_0, s) \left[ G_k^{(1)L}(R_0, s) + \frac{\bar{v}-1}{R_0} G_{k+1}^{(1)L}(R_0, s) \right] + \\
 & \quad + \frac{\bar{v}-1}{R_0} V_0^L(s) \sum_{n=1}^{\infty} J_{k+1}(\lambda_{k,n} R_0) \frac{\lambda_{k,n}^3 v_{k,n}}{s^2 + \lambda_{k,n}^4} = 0; \\
 & B_1^{(1)L}(R_0, s) \frac{1}{\sqrt{s}} \Psi_c^L(0, s) + B_1^{(2)L}(R_0, s) \frac{1}{\sqrt{s}} \Psi_s^L(0, s) - V_0^L(s) \sum_{n=1}^{\infty} \frac{\lambda_{1,n}^3 v_{1,n}}{s^2 + \lambda_{1,n}^4} = 2f^L(s).
 \end{aligned} \tag{16}$$

Отметим, что при составлении системы (16) были учтены соотношения (8), (11), (13) и равенство  $\left. \frac{dZ_k(\lambda r)}{dr} \right|_{r=0} = \delta_{1k} \frac{\lambda}{2}$  ( $Z_k$  – цилиндрические функции 1-го рода;  $\delta_{1k}$  – символ Кронекера).

При решении системы (16) в явном виде формулы, определяющие неизвестные трансформанты  $B_k^{(j)L}(R_0, s)$  ( $j = 1, 2$ ) и  $V_0^L(s)$ , принимают достаточно громоздкий вид, что затрудняет последующий переход в пространство оригиналов. Поэтому здесь производится строгая инверсия этих уравнений и удовлетворение граничным условиям и условию управления осуществляется в пространстве оригиналов. В результате задача сводится к решению системы интегральных уравнений Вольтерра 1-го рода

$$\begin{aligned}
 & \sum_{j=1}^2 \int_0^t B_k^{(j)}(R_0, \tau) G_k^{(j)}(R_0, t - \tau) d\tau = 0; \\
 & \sum_{j=1}^2 \int_0^t B_k^{(j)}(R_0, \tau) H_k^{(j)}(R_0, t - \tau) d\tau + \int_0^t V_0(\tau) H_k^{(3)}(R_0, t - \tau) d\tau = 0; \\
 & \sum_{j=1}^2 \int_0^t B_1^{(j)}(R_0, \tau) S^{(j)}(t - \tau) d\tau + \int_0^t V_0(\tau) S^{(3)}(t - \tau) d\tau = 2f(t),
 \end{aligned} \tag{17}$$

где

$$\begin{aligned}
 H_k^{(1)}(r, t) &= G_k^{(2)}(r, t) + (\bar{v}-1)G_{k+1}^{(2)}(r, t)/r; & S^{(1)}(t) &= \int_0^t \frac{\Psi_c(0, \tau)}{\sqrt{\pi(t-\tau)}} d\tau; \\
 H_k^{(2)}(r, t) &= -G_k^{(1)}(r, t) - (\bar{v}-1)G_{k+1}^{(1)}(r, t)/r; & S^{(2)}(t) &= \int_0^t \frac{\Psi_s(0, \tau)}{\sqrt{\pi(t-\tau)}} d\tau; \\
 H_k^{(2)}(r, t - \tau) &= (\bar{v}-1) \sum_{n=1}^{\infty} \lambda_{k,n} v_{k,n} J_{k+1}(\lambda_{k,n} r) \sin(\lambda_{k,n}^2 t)/r; & S^{(3)}(t) &= - \sum_{n=1}^{\infty} \lambda_{1,n} v_{1,n} \sin(\lambda_{1,n}^2 t).
 \end{aligned}$$

Система уравнений (17) решалась численно для каждого  $k = 1, 2, \dots$  с привлечением регуляризирующего алгоритма Тихонова с целью построения устойчивых к вычислительным погрешностям и возможной некорректности в задании функции  $f(t)$  результатов. Методику реализации алгоритма можно найти, например, в монографии [13]. Отличительной особенностью системы (17) является то, что управляющий сигнал  $V_0(t)$  восстанавливается уже на первом этапе ( $k = 1$ ). Найденные значения  $V_0(t)$  используются в дальнейшем для отыскания коэффициентов  $B_k^{(j)}(R_0, t)$  ( $j = 1, 2; k \geq 2$ ) из первых двух уравнений системы.

Располагая значениями  $B_k^{(j)}(R_0, t)$  ( $j = 1, 2$ ) и  $V_0(t)$ , несложно рассчитать деформации пластины  $w$  (15). При численном интегрировании соотношения (15) и входящих в него ядер применялся метод квадратурных формул.

### Числовые результаты

Расчеты проводились для биморфной пластины с геометрическими размерами  $h_p = 0,04$  и  $h_m = 0,02$  ( $R_0 = 1,0$ ) при следующих материальных характеристиках:  $\rho_p = 7600$  кг/м<sup>3</sup>,  $s_{11}^p = 15,4 \cdot 10^{-12}$  м<sup>2</sup>/Н,  $\nu = 0,33$ ,  $d_{31} = -178 \cdot 10^{-12}$  Кл/Н,  $\varepsilon_{33}^T = 15,5 \cdot 10^{-9}$  Ф/м;  $\rho_m = 4450$  кг/м<sup>3</sup>,  $s_{11}^m = 8,85 \cdot 10^{-12}$  м<sup>2</sup>/Н (эти значения соответствуют пьезокерамике марки PZT-5 и титановому сплаву ВТ-6).

Изменение во времени функции  $f$  (3) задавалось в соответствии с изображенной на рисунке нумерованной кривой. Кривая 1 на этом рисунке иллюстрирует вычисленную из системы интегральных уравнений (17) конфигурацию электрического нагружения  $V_0(t)$ , которое обеспечивает выполнение условия управления (3).

Точность расчетов контролировалась варьированием количества удерживаемых членов в рядах и шагом дискретизации временного интервала при использовании квадратурных формул. Параметр регуляризации, входящий в метод Тихонова, находился на основании принципа невязки, при этом относительный уровень невязки принят равным 0,02.

В процессе численных экспериментов установлено, что при выбранной схеме нагружения пластины и варианте ее закрепления слагаемым  $\bar{w}$  в решении (4), а следовательно, и определяющими его коэффициентами  $B_k^{(j)}(R_0, t)$ , в первом приближении, можно пренебречь. И тогда система интегральных уравнений (17) для расчета функции  $V_0(t)$  с достаточной степенью точности может быть заменена одним уравнением

$$\int_0^t V_0(\tau) S^{(3)}(t - \tau) d\tau = 2f(t), \quad (18)$$

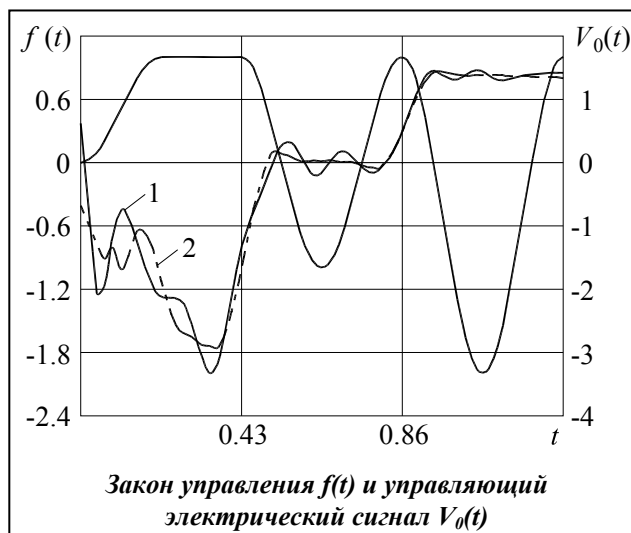
ядро и правая часть которого известны.

Приближенное, по методу Тихонова, решение интегрального уравнения (18) изображено на рисунке штриховой кривой 2. Хорошее согласование кривых 1 и 2 позволяет сделать вывод о правомерности такого упрощения.

В заключение отметим, что изложенные подходы могут быть обобщены на случай управления динамическим поведением всей поверхности пластины рассмотренного конструктивного исполнения за счет более сложного секционирования токопроводящего покрытия и определенным образом распределения электрического потенциала для оказания целенаправленного воздействия. Решение аналогичной задачи в статической постановке представлено в работе [8]. Определенный интерес для практических приложений представляют задачи подавления колебаний электроупругой пластины при импульсном неосесимметричном механическом ее нагружении, при решении которых также могут быть использованы полученные в настоящей работе результаты.

### Литература

1. Дідковський В. С. Електроакустичні п'єзоелектричні перетворювачі (розрахунок, проектування, конструювання) / В. С. Дідковський, О. Г. Лейко, В. Г. Савін. – Кіровоград: Імекс-ЛТД, 2006. – 448 с.



2. *Шарапов В. М.* Пьезокерамические преобразователи физических величин / В. М. Шарапов, М. П. Мусиенко, Е. В. Шарапова. – Черкассы: Черкас. техн. ун-т, 2005. – 631 с.
3. *Карнаухов В. Г.* Демпфирование резонансных изгибных колебаний гибкой шарнирно опертой вязкоупругой круглой пластины при совместном использовании сенсоров и актуаторов / В. Г. Карнаухов, Т. В. Карнаухова // Теорет. и прикл. механика. – 2009. – Вып. 46. – С. 125–131.
4. *Киричок І.* Контроль вимушених коливань круглих в'язкопружних пластинок за допомогою п'єзоелектричних сенсорів та актуаторів з урахуванням вібророзігріву / І. Киричок, Т. Карнаухова // Фіз.-мат. моделювання та інформаційні технології. – 2009. – Вып. 9. – С. 67–78.
5. *Янчевский И. В.* Минимизация прогибов круглой электроупругой биморфной пластины при импульсном нагружении / И. В. Янчевский // Проблемы обчислювальної механіки і міцності конструкцій. – 2011. – Вып. 16. – С. 303–313.
6. *Johari J.* Analysis of a bilaminar circular piezoelectric actuator for micropumps / J. Johari, B. Y. Majlis // IEEE Int. Conf. on Semiconductor Electronics, "ICSE '06". – Oct. 29 – Dec. 1, 2006. – P. 106–111.
7. *Sahebnasagh M.* Vibration suppression of circular thin plates with piezoactuators using a wave-absorbing controller / M. Sahebnasagh, M. J. Mahjoob // IEEE Int. Conf. on Mechatronics "ICM '11". – 13–15 Apr. 2011. – P. 690–695.
8. *Ватульян А. О.* Управление поверхностью секционированной биморфной пластины / А. О. Ватульян, Н. Б. Лапицкая // Прикл. механика и техн. физика. – 1995. – Т. 36, № 4. – С. 131–136.
9. *Bergander A.* Development of miniature manipulators for applications in biology and nanotechnologies / A. Bergander, W. Driesen et al. // IEEE/RSJ Int. Conf. on Intelligent Robots and Systems "IROS '03". – Oct. 27–31, 2003. – P. 11–35.
10. *A compact and quick-response dynamic focusing lens* / T. Kaneko, T. Ohmi, N. Ohya, et al. // Sensors and Actuators A. – 1998. – Vol. 70. – P. 92–97.
11. *Янчевский И. В.* Обратное преобразование по Лапласу функций Бесселя вида  $e^{-\alpha\sqrt{is}} I_n(\alpha\sqrt{is})$  и  $e^{\alpha\sqrt{is}} J_n(\alpha\sqrt{is})$  / И. В. Янчевский // Вестник Харьк. нац. ун-та. Сер. Математика, прикладная математика и механика. – 2011. – № 967. – С. 42–50.
12. *Диткин В. А.* Справочник по операционному исчислению / В. А. Диткин, А. П. Прудников. – М.: Высш. шк, 1965. – 466 с.
13. *Янютин Е. Г.* Импульсные воздействия на упругодеформируемые элементы конструкций / Е. Г. Янютин, И. В. Янчевский. – Харьков: Изд-во Харьк. автомоб.-дор. ин-та, 2001. – 184 с.

Поступила в редакцию  
02.02.12